

# <sup>134</sup>Ba核的高激发态能级结构研究\*

车兴来<sup>1;1)</sup> 朱胜江<sup>1</sup> 李明亮<sup>1</sup> 禹英男<sup>1</sup> 陈永静<sup>1</sup> 丁怀博<sup>1</sup>  
徐强<sup>1</sup> 竺礼华<sup>2</sup> 吴晓光<sup>2</sup> 李广生<sup>2</sup> 刘颖<sup>2</sup> 贺创业<sup>2</sup>

1 (清华大学物理系 北京 100084)

2 (中国原子能科学研究院 北京 102413)

**摘要** 在中国原子能科学研究院H-13串列加速器上,通过重离子核反应<sup>130</sup>Te(<sup>9</sup>Be,5n)与在束γ谱的实验技术,对A=130缺中子核区的<sup>134</sup>Ba核的高自旋态进行了研究,建立了<sup>134</sup>Ba核的新的能级纲图,最高自旋态扩展到20 $\hbar$ .除验证了以前报道的大部分能级与跃迁外,将基带的能级扩展到10 $^+$ ,同时发现了基于10 $^+$ 同质异能态以上的众多的能级与跃迁.对实验结果的系统学分析表明,10 $^+$ 同质异能态为yrast陷阱,起源于两中子组态,可能具有 $\gamma \approx -120^\circ$ 的长椭形状,在其以上的能级表现出很强的单粒子性,具有复杂的结构.基带中观测到明显的集体回弯现象,推转壳模型的计算表明,此集体回弯是由一对中子的顺排所致,TRS计算表明,随着转动频率的增加,核的形状发生明显的变化,基带中在中子顺排后核具有 $\gamma \approx -60^\circ$ 的扁椭形状.

**关键词** 核结构 集体回弯  $\gamma$ - $\gamma$  符合测量 同质异能态

## 1 引言

<sup>134</sup>Ba核位于A=135的过渡核区,其中子数为78,接近N=82满壳层,预计其基态的β形变较小,并且具有软的γ形变.而在高自旋态下其结构特性则比较复杂,因为位于该区内的核质子的费米面处于 $h_{11/2}$ 亚壳层的底部,中子的费米面位于 $h_{11/2}$ 亚壳层的顶部,在高自旋态下,一对 $h_{11/2}$ 价质子的顺排将驱动核向长椭形状变化,而一对 $h_{11/2}$ 价中子的顺排使核向扁椭形状变化<sup>[1]</sup>.高自旋下由多准粒子组态形成的能态或转动带,可使原子核形成不同的形状.另一方面,近期的研究表明,该区中中子数N<82的很多偶偶核中都存在建立在10 $^+$ 态上的长寿命同质异能态以及在同质异能态以上的能级结构,比如<sup>134</sup>Ce<sup>[2, 3]</sup>, <sup>136</sup>Ce<sup>[4]</sup>, <sup>138</sup>Nd<sup>[5]</sup>, <sup>140</sup>Sm<sup>[6]</sup>等.这些10 $^+$ 同质异能态被认为起源于两中子 $[\nu h_{11/2}]^{-2}$ 组态,对其研究能给出原子核结构的重要信息<sup>[2]</sup>.在以前关于<sup>134</sup>Ba较高激发态的报道中,文献[7]利用<sup>133</sup>Cs(α, 1p3n)反应,发现了<sup>134</sup>Ba的两个长寿命同质异能态(10 $^+$ , 5 $^-$ ),指定其组态分别为

$[\nu h_{11/2}]^{-2}$ ,  $h_{11/2} \otimes \nu s_{1/2}$ (或 $d_{1/2}$ ),并且系统性地比较了其基带能级.而文献[8]通过<sup>128</sup>Te(<sup>10</sup>B, 1p3n)反应,扩展了<sup>134</sup>Ba的能级结构,系统地比较了负宇称旁带,给出其产生机制.本文报道对于<sup>134</sup>Ba高自旋态能级结构的进一步研究,主要是对基带的扩展及基于10 $^+$ 同质异能态以上的能级结构的识别,从而进一步丰富了<sup>134</sup>Ba的在束能级结构的信息.

## 2 实验、数据处理与结果

实验是在中国原子能科学研究院H-13串列加速器上进行的,用<sup>130</sup>Te(<sup>9</sup>Be,5n)<sup>134</sup>Ba重离子熔合-蒸发反应布居<sup>134</sup>Ba的高自旋态.所用同位素<sup>130</sup>Te靶的厚度为2.34mg/cm<sup>2</sup>,蒸发在厚度为20mg/cm<sup>2</sup>的金靶衬上.<sup>9</sup>Be束流的能量为45MeV.由14个反康高纯Ge探测器组成的联合在束γ谱探测装置测量高自旋态退激产生的 $\gamma$ - $\gamma$ 符合事件.Ge探测器相对于1.333MeV γ射线的能量分辨率在1.8—2.4keV之间.本次实验的目的是同时研究<sup>134,135</sup>Ba的高自旋态能级结构,实验时

2006-10-09 收稿

\* 国家自然科学基金(10375032, 10575057)和教育部博士点基金(20030003090)资助

1) E-mail: chexl02@mails.tsinghua.edu.cn

通过 $\gamma$ 射线的激发函数测量将45MeV确定为布居两核高自旋态的最佳束流能量。离线处理建立了两维符合矩阵, 得到具有 $7.7 \times 10^7$ 个(去除本底后)符合事件数的两维符合矩阵, 以供 $\gamma$ - $\gamma$ 符合分析。为了确定 $\gamma$ 跃迁的多极性, 从而确定能级的自旋和宇称, 还分别建立了两维方向关联矩阵, 用以作为取向核态的方向关联强度(DCO)比率的分析。符合数据利用Radware程序包进行分析<sup>[9]</sup>。

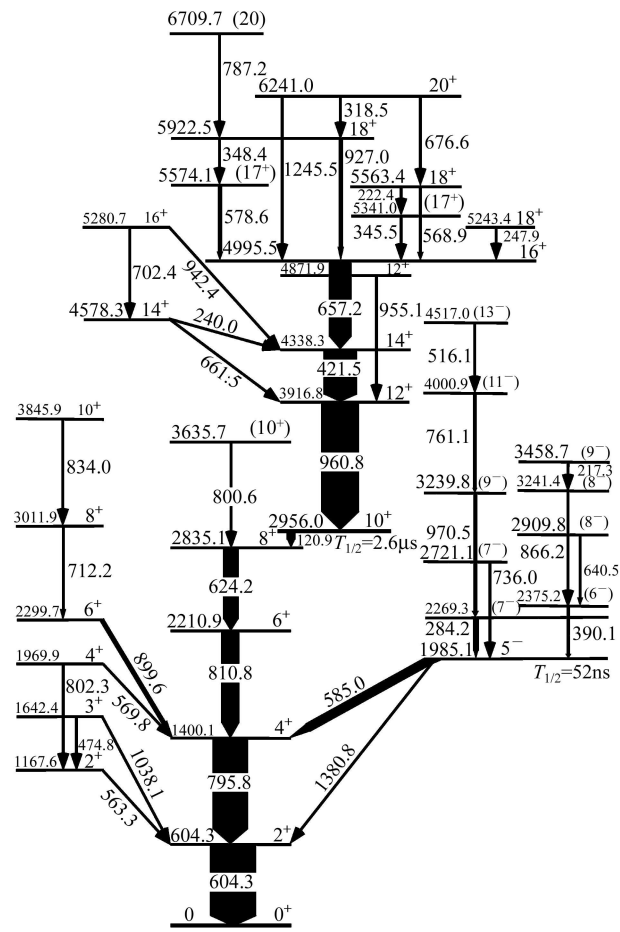


图1  $^{134}\text{Ba}$ 能级纲图

通过 $\gamma$ - $\gamma$ 符合关系、相对跃迁强度、DCO比率的分析, 建立了 $^{134}\text{Ba}$ 新的能级纲图, 如图1所示。对照文献[8]的结果, 在中自旋态部分, 对于基带的8<sup>+</sup>态以上, 新识别了能量为3636keV的10<sup>+</sup>态能级, 以800.6keV  $\gamma$ 跃迁与8<sup>+</sup>态相连。扩展了图1中左边的6<sup>+</sup>以上的3012keV(8<sup>+</sup>)与3846keV(10<sup>+</sup>)两个能级, 以712.2, 834.0两条 $\gamma$ 跃迁相连。而对于右边的负宇称能级, 在4001keV能级以上, 新发现了一个4517keV的能级, 以516.1keV  $\gamma$ 跃迁与之相连, 而在文献[8]中的2375keV以上的682.5keV  $\gamma$ 跃迁在本实验中没有被发现。由于能量为2956keV的10<sup>+</sup>能级为半衰期 $T=2.6\mu\text{s}$ 的同质异能态<sup>[7]</sup>, 其上

面的跃迁和下面的跃迁之间没有符合关系, 而在此同质异能态以上的能级与跃迁在以前的实验中没有任何报道。在此次实验中发现了一系列的强的未知的 $\gamma$ 跃迁, 利用激发函数与这些 $\gamma$ 跃迁间的符合关系来确定未知跃迁归属, 确认它们属于 $^{134}\text{Ba}$ 的 $\gamma$ 跃迁, 而这些跃迁只能来自于长寿命同质异能态以上, 从而建立了在2956keV的10<sup>+</sup>同质异能态以上的高自旋态能级结构。图2为 $^{134},^{135}\text{Ba}$ 有代表性的特征峰的激发函数。其中, 604, 796, 811keV为 $^{134}\text{Ba}$ 的10<sup>+</sup>同质异能态以下的 $\gamma$ 跃迁, 而657, 961keV为10<sup>+</sup>同质异能态以上的新的 $\gamma$ 跃迁, 204, 343, 1052keV则为 $^{135}\text{Ba}$ 的 $\gamma$ 跃迁<sup>[10]</sup>。从图中可以看到, 961, 657keV  $\gamma$ 跃迁的激发函数和 $^{134}\text{Ba}$ 已知 $\gamma$ 峰的激发函数一致。在排除了其属于污染反应道产物的可能性后, 我们确认其属于 $^{134}\text{Ba}$ 。图3给出了对604.7和961keV  $\gamma$ 射线开门所得符合门谱的例子。从门

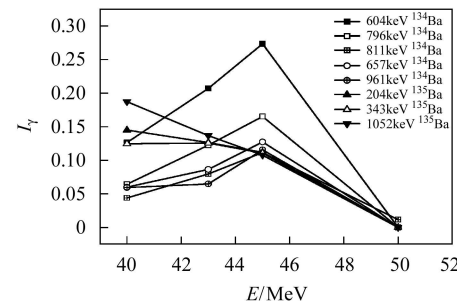


图2  $^{134},^{135}\text{Ba}$ 核某些特征峰的激发函数

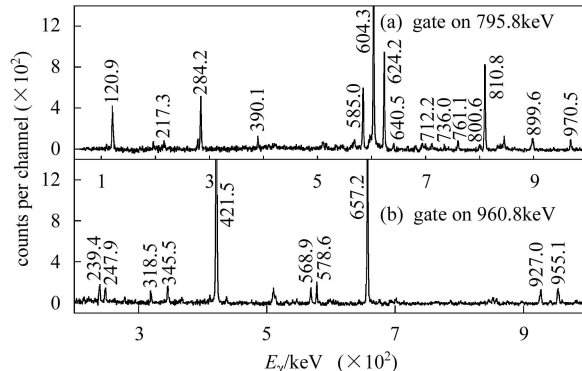


图3 对 $^{134}\text{Ba}$ 数据分析的符合门谱

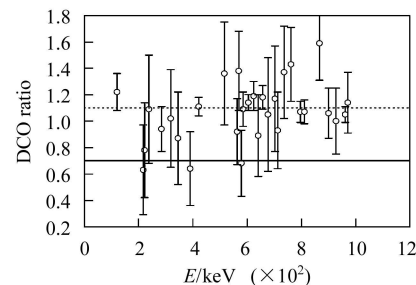


图4 测得的 $^{134}\text{Ba}$   $\gamma$ 跃迁的DCO比率

谱中我们可以清楚地看到与开门的 $\gamma$ 峰对应的符合 $\gamma$ 峰。自旋与宇称的确定参考文献[7,8]的结果,以及本实验测得的DCO比率,如图4所示。由于一些 $\gamma$ 峰的统计性较弱,实验给不出其比率。一般而言,如果跃迁的DCO比值在1.1上下,我们认为其为四极跃迁;如果DCO比值在0.7上下,则为偶极跃迁。

### 3 结果讨论

从图1可以看出, $^{134}\text{Ba}$ 的能级结构比较复杂。在基带中,其 $E(4_1^+)/E(2_1^+)$ 比值为2.32,而该比值在 $^{132}\text{Ba}$ 中为2.43, $^{136}\text{Ba}$ 中为2.28。 $^{134}\text{Ba}$ 中的 $E(4_1^+)/E(2_1^+)$ 的比值介于相邻两个核中间,说明其基态形变值稍小于 $^{132}\text{Ba}$ 而大于 $^{136}\text{Ba}$ 。图5为基带的

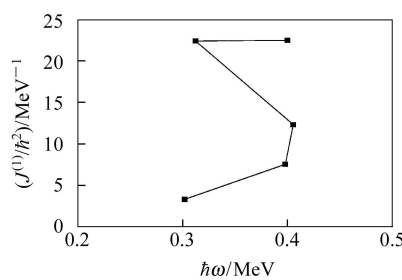


图5  $^{134}\text{Ba}$ 中基带的第一类转动惯量 $J^{(1)}$ 随转动频率 $\hbar\omega$ 的变化图

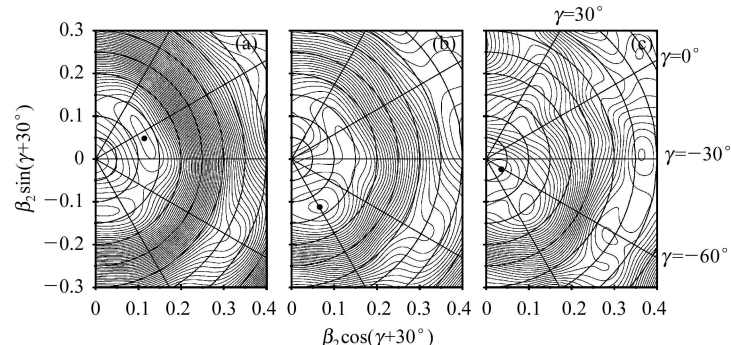


图6 用推转壳模型计算得到的 $^{134}\text{Ba}$ 的TSR图  
(a)  $\omega=0.0, \beta_2=0.124, \gamma=-7.34^\circ, \beta_4=-0.002$ ; (b)  $\omega=0.3, \beta_2=0.130, \gamma=-89.5^\circ, \beta_4=-0.004$ ; (c)  $\omega=0.5, \beta_2=0.043, \gamma=-63.7^\circ, \beta_4=0.012$ .

图7给出了推转壳模型计算得到的 $^{134}\text{Ba}$ 核的中子和质子准单粒子能级图,计算中使用前面TRS计算得到的基态形变参数。由图7可以看出一对中子在 $\hbar\omega \approx 0.36\text{MeV}$ 出现顺排,和实验符合得很好;而质子顺排直到 $\hbar\omega$ 接近0.6MeV时才出现。因此,我们认为一对中子顺排引起了 $^{134}\text{Ba}$ 的集体回弯。结合TRS的计算,可以认为一对 $h_{11/2}$ 中子的顺排驱动 $^{134}\text{Ba}$ 核具有 $\gamma \approx -60^\circ$ 的形状。值得提到的是,在邻近核 $^{134}\text{Ce}$ 中也观测到相似的现象。

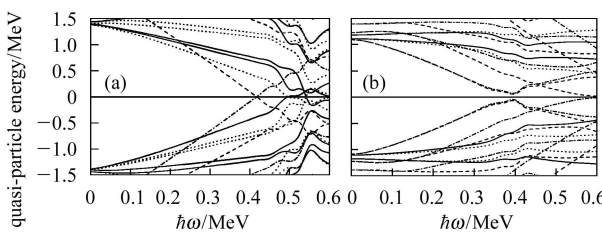


图7  $^{134}\text{Ba}$ 准粒子能级图

(a)准质子,(b)准中子,实线:  $(\pi, \alpha)=(+, +1/2)$ , 点线:  $(\pi, \alpha)=(+, -1/2)$ , 点划线:  $(\pi, \alpha)=(-, +1/2)$ , 虚线:  $(\pi, \alpha)=(-, -1/2)$ .

第一类转动惯量 $J^{(1)}$ 随转动频率 $\hbar\omega$ 的变化图。从图中可以看出, $^{134}\text{Ba}$ 在 $\hbar\omega \approx 0.4\text{MeV}$ 开始出现集体回弯,而回弯的频率约为0.36MeV。

为了进一步了解 $^{134}\text{Ba}$ 的形变特性及引起集体回弯的机制,我们进行了推转壳模型的计算,计算包括TRS(总罗斯面)以及准单粒子能级。计算基于WoodsSaxon势和单极、四极对相互作用,详细的细节见文献[11—13]。TRS的计算结果如图6所示。可以看到, $^{134}\text{Ba}$ 基态具有小的 $\beta$ 形变。在基态时,原子核为长椭( $\hbar\omega=0$ 时,  $\gamma=-7^\circ$ )形变,随着转动频率的增大,核趋向三轴( $\hbar\omega=0.3, 0.4\text{MeV}$ 时,  $\gamma \approx -90^\circ$ )形变,当转动频率 $\hbar\omega > 0.4$ 时,核的形状变为扁椭( $\hbar\omega=0.5\text{MeV}$ 时,  $\gamma \approx -63^\circ$ )。据此可以认为此核的形状在 $\hbar\omega=0.4\text{MeV}$ 之后发生突变。

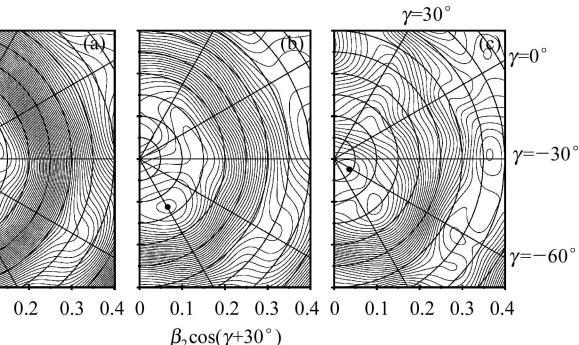


图6 用推转壳模型计算得到的 $^{134}\text{Ba}$ 的TSR图

文献[7,8]指出,在 $^{134}\text{Ba}$ 的相邻同中子素中都存在长寿命 $10^+$ 同质异能态,并且其寿命随质子数增加而减小。在 $^{136}\text{Ce}^{[4]}$ ,  $^{138}\text{Nd}^{[5]}$ ,  $^{140}\text{Sm}^{[6]}$ 核中,  $10^+$ 同质异能态之上的能级具有一定的集体性,表现为它们相邻同位素之间的集体转动能级的相似性,可以用弱耦合模型近似描述。比如 $^{138}\text{Nd}$ 核中 $10^+$ 同质异能态以上能级和 $^{139}\text{Nd}$ 核中 $11/2^-$ 态之上能级及 $^{140}\text{Nd}$ 中基态能级存在相似的结构<sup>[5]</sup>。而 $^{134}\text{Ba}$ 中 $10^+$ 同质异能态以上的能级结构很不规则,不具有这种集体性。这和 $^{134}\text{Ce}$ 核中 $10^+$ 同质异能态以上的能级结构相类似。文献[2]指出, $^{134}\text{Ce}$ 核中 $10^+$ 同质异能态为yrast陷阱,起源于两中子组态,为具有 $\gamma \approx -120^\circ$ 的长椭形状。所以, $^{134}\text{Ba}$ 中的 $10^+$ 同质异能态也应是yrast陷阱,应和 $^{134}\text{Ce}$ 的 $10^+$ 同质异能态具有相似的特性,即:起源于两中子组态,为具有 $\gamma \approx -120^\circ$ 的长椭形状。正是这种 $\gamma \approx -120^\circ$ 的长椭形状,使得原子核的运动完全失去了集体性,从而使得其上的能级表现出完全的粒子运动的特性。对于这些单粒子能级组态的分析需要更多理论方面的工作。

建立在1167keV( $2^+$ )及其以上的能级可能属于 $\gamma$ 振动带, 其能级结构和同中子素 $^{138}\text{Nd}$ <sup>[5]</sup>中相应结构很相似. 而建立在 $5^-$ 态以上的负宇称能级结构在文献[8]中已经作了详细讨论. 在2300keV( $6^+$ )能级以上新发现的能级系列的结构特性尚不清楚, 对它们的认识需要更多实验和理论的工作.

## 4 结论

通过重离子核反应与在束 $\gamma$ 谱的实验技术, 对 $A=130$ 缺中子核区的 $^{134}\text{Ba}$ 核的高自旋态进行了研

究, 建立了 $^{134}\text{Ba}$ 的新的能级纲图, 最高自旋态扩展到 $20\hbar$ . 对实验结果的分析表明:  $10^+$ 同质异能态为yrast陷阱, 起源于两中子组态, 可能具有 $\gamma \approx -120^\circ$ 的长椭形状; 在此同质异能态以上的能级表现出很强的单粒子性, 具有复杂的结构. 对基带的能级进行了扩展, 观测到集体回弯现象, 推转壳模型的计算表明, 此集体回弯起源于两个中子组态, TRS计算表明其具有 $\gamma \approx -60^\circ$ 的扁椭形变.

作者感谢中国原子能科学研究院提供实验束流、靶以及在实验期间提供的各种帮助.

## 参考文献(References)

- 1 Paul E S et al. Phys. Rev. Lett., 1987, **58**: 984
- 2 Müller-Veggian M et al. Nucl. Phys., 1984, **A417**: 1893
- 3 ZHU S J et al. HEP & NP, 2005, **29**(2): 130 (in Chinese)  
(朱胜江等. 高能物理与核物理, 2005, **29**(2): 130)
- 4 Lakshmi S et al. Nucl. Phys., 2005, **A761**: 1—21
- 5 Angelis G de et al. Phys. Rev., 1994, **C49**: 2990
- 6 Lunard S et al. Phys. Rev., 1990, **C42**: 174
- 7 Morek T et al. Z. Phys., 1980, **A298**: 267
- 8 LUO Peng et al. HEP & NP, 2004, **28**(3): 268 (in Chinese)  
(骆鹏等. 高能物理与核物理, 2004, **28**(3): 268)
- 9 Radford D C. Nucl. Instrum. Methods Phys. Res., 1995, **A361**: 297
- 10 CHE X L et al. EPJA, 2006, **30**: 347
- 11 Bengtsson R et al. Nucl. Phys., 1972, **A237**: 139
- 12 Frauendorf S et al. Phys. Lett., 1983, **B125**: 219
- 13 XU F R et al. Phys. Rev., 2002, **65**: 021303(R)

## Level Structure with High Excitation States in $^{134}\text{Ba}^*$

CHE Xing-Lai<sup>1;1)</sup> ZHU Sheng-Jiang<sup>1</sup> LI Ming-Liang<sup>1</sup> YU Ying-Nan<sup>1</sup> CHEN Yong-Jing<sup>1</sup>  
DING Hui-Bo<sup>1</sup> XU Qiang<sup>1</sup> ZHU Li-Hua<sup>2</sup> WU Xiao-Guang<sup>2</sup>  
LI Guang-Sheng<sup>2</sup> LIU Ying<sup>2</sup> HE Chuang-Ye<sup>2</sup>

1 (Department of Physics, Tsinghua University, Beijing 100084, China)

2 (China Institute of Atomic Energy, Beijing 102413, China)

**Abstract** The high spin states in neutron-deficient  $^{134}\text{Ba}$  nucleus have been studied by using heavy ion induced reaction  $^{130}\text{Te}(^{9}\text{Be}, 5n)$  and in-beam  $\gamma$ -ray spectroscopy carried out at China Institute of Atomic Energy. The level scheme has been updated with spin up to  $20\hbar$ . Most of levels and transitions reported in the previous publications have been confirmed. The levels in the ground state band was expanded to  $10^+$  state, and many levels and transitions above the  $10^+$  isomer have been identified. Based on the systematical analyzing, the  $10^+$  isomer in  $^{134}\text{Ba}$  is a yrast trap of prolate deformation with  $\gamma \approx -120^\circ$  which is originated from two neutron configuration. Above the  $10^+$  isomer level, the new levels show strong single-particle motion and complex structural characteristics. The obvious collective back-bending has been observed in the ground state band. The CSM calculations indicate that the back-bending of  $^{134}\text{Ba}$  is caused by alignment of a pair of  $h_{11/2}$  quasi-neutrons. The nuclear shape has obviously changed with rotational frequency increasing according to the TRS calculations, and the nucleus probably has an oblate deformation with  $\gamma \approx -60^\circ$  after the neutron alignment.

**Key words** nuclear structure, collective back-bending,  $\gamma$ - $\gamma$  coincidence, isomer

Received 9 October 2006

\* Supported by National Natural Science Foundation of China (10375032, 10575057) and Special Program of Higher Education Science Foundation (20030003090)

1) E-mail: chexl02@mails.tsinghua.edu.cn